

AZƏRBAYCAN RESPUBLİKASI

Əlyazması hüququnda

ENDOTOKSİNİN TƏSİRİNDƏN BÖYRƏK KANALCQLARINDA PATOMORFOLOJİ DƏYİŞİKLİKLƏRİN XÜSUSİYYƏTLƏRİ

İxtisas: 3242.01 - Patoloji anatomiya

Elm sahəsi: Tibb elmləri

İddiaçı: **İbişova Arzu Vaqif qızı**

Fəlsəfə doktoru elmi dərəcəsi
almaq üçün təqdim edilmiş dissertasiyanın

AVTOREFERATI

Bakı – 2024

Dissertasiya işi Azərbaycan Tibb Universitetinin Patoloji anatomiya kafedrasında yerinə yetirilmişdir.

Elmi rəhbər: tibb üzrə elmlər doktoru, professor
Ədalət Baybala oğlu Həsənov

Rəsmi opponentlər: tibb üzrə elmlər doktoru, professor
Mehmet Akif Çiftçioglu

tibb üzrə fəlsəfə doktoru
Şahin Şalbuz oğlu Osmanov

tibb üzrə fəlsəfə doktoru
Fikrət Xanhüseyn oğlu Əliyev

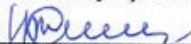
Azərbaycan Respublikasının Prezidenti yanında Ali Attestasiya Komissiyasının Azərbaycan Tibb Universitetinin nəzdində fəaliyyət göstərən BED 4.20 Disserasiya şurası

Dissertasiya şurasının sədri:


Professor
Südeif B. İmamverdiyev

Əməkdar elm xadimi, AMEA-nın müxbir üzvü tibb elmləri doktoru, professor
Südeif Bəşir oğlu İmamverdiyev

Dissertasiya şurasının elmi katibi: tibb üzrə elmlər doktoru



Habil Kamil oğlu Muradov

Elmi seminarın sədri:



Əməkdar elm xadimi, REA-nın xarici üzvü, tibb elmləri doktoru, professor
Vaqif Bilas oğlu Şadlınski



İŞİN ÜMUMİ XARAKTERİSTİKASI

Mövzunun aktuallığı. İnsan organizminin hayatı vacib üzvlərinə o cümlədən böyrəklərin morfolofsional xüsusiyyətlərinə müxtəlif tərkibli toksik maddələrin zədələyici təsirinin öyrənilməsi, nefrologiyanın və klinik morfologiyanın öndə duran prioritet məsələlərindən biridir. Son zamanlar reanimasiya tədbirlərinin innovativ inkişafına baxmayaraq, sepsis zamanı yaranmış endotoksemiya bir çox orqanların zədələnməsinə və orqan çatışmazlığına səbəb olur. Kəskin böyrək zədələnməsində işemiya və bir çox toksiki maddələrin təsirindən yaranan kəskin böyrək çatışmazlığı və kəskin kanalcıq zədələnməsi hələ də ilk sıralarda olmaqdə davam edir. Tibbi innovasiyaların inkişafı və yeni diaqnostika üsullarının yaranmasına baxmayaraq, sepsis hallarında, kəskin dövrdə xəstələrdə ölümün əsas səbəbi endotoksemiya hesab edilir. ABŞ-in klinikalarında sepsis ölüm hallarının 10 əsas səbəbindən biri olaraq bildirilmişdir¹. Tədqiqatlar göstərir ki, il ərzində dünyada 30×10^6 xəstə sepsisin ağrılaşmalarından əziyyət çəkir və sepsisin ağrılaşmalarından 6×10^6 insan həyatını itirir. Sepsisin ağrılaşması nəticəsində yaranmış kəskin böyrək zədələnməsi (KBZ) çox vaxt xəstəxanalara yerləşdirilmiş xəstələrin müalicəsini çətinləşdirir və ağrılaşmış fəsadların daha da dərinləşməsinə gətirir². Bir çox tədqiqatlarda statistik məlumatların analizi göstərir ki, işemianın yaratdığı kəskin kanalcıq zədələnməsi 50%, toksiki maddələrin təsirindən kəskin kanalcıq zədələnmələri isə 35% olaraq qeyd edilir³. Endotoksinin insan organizminə, xüsusilə də böyrək kanalcıqlarına təsirinin öyrənilməsi məqsədi ilə, bir çox tədqiqatçılar eksperimental olaraq müxtəlif endotoksinləri eksperiment heyvanlarına daxil edərək kəskin kanalcıq zədələnmələrinin mikroskopik təsvirlərində müxtəlif nəticələr əldə

¹ Acedillo R.R, Mcarthur Wald E., Characteristics and outcomes of patients discharged home from an emergency department with AKI // Clinical Journal of the American Society of Nephrology 12: 1215-1225.

² John M., Reinhart K., et all. International Sepsis Forum, "Biomarkers of sepsis," // critical Care Medicine , 2009.vol 37, no 7, p. 2290-2298.

³ Linlong S., Zou Y., et all. Comparision of two different models of sepsis induced by cecal ligation and puncture in rats" // The Jurnal of Surgical Research, 2018. vol. 229, p 277-282.

etmişlər⁴. Hazırda Langenberg, Bellomo və əməkdaşları endotoksinin təsirində böyrək kanalcıqlarında kəskin zədələnmələri araşdırırlar⁵. Eksperimental endotoksemiya modelinin yaradılması klinikada əldə oluna bilməyən nəticələrin və onları yaranan səbəblərin heyvan modelləri üzərində yaratmaqla araşdırılmasını təmin edir⁶. Vətən alımlarının tədqiqatlarında endotoksemiya nəticəsində sinir toxumasının və onun müxtəlif strukturlarında baş vermiş dəyişikliklərin təsiri öyrənilmiş və bu barədə çoxsaylı elmi məqalələr dərc edilmişdir. Endotoksinlərin təsirindən baş verən patohistoloji dəyişikliklərin ultrastruktur xarakteristikası isə ATU-nun normal histologiya, sitologiya və embriologiya kafedrasının əməkdaşları tərəfindən öyrənilmişdir^{7,8}.

Tədqiqat işinin məqsədi: Həyata keçirilmiş elmi-tədqiqat işinin əsas məqsədi eksperimental endotoksemiya modeli yaradıldıqdan sonra böyrək kanalcıqlarında baş verən patomorfoloji dəyişikliklərdən alınan nəticələri klinikada böyrəklərdən alınmış biopsiyalar və laborator göstəricilər ilə müqayisə etmək olmuşdur.

Tədqiqatın vəzifələri:

1. Eksperimental endotoksemiya modeli yaradıldıqdan 6 saat sonra alınmış böyrək biopsiyaları və tubulo-interstitial nefrit xəstələrindən götürülmüş böyrək biopsiya nümunələrində kanalcıqlarda yaranmış patomorfoloji dəyişiklikləri, histokimyevi və immunohisto kimyevi boyama üsulları ilə müəyyən etmək.

⁴ Kidney international supplements/ KDIGO 2012. Clinical Practice Guidline for the evaluation and managment of cronic kidney disease. Volume 3/ issue 1/ January (1) 2013. p.142.

⁵ Langenberg C., Wan L., et all: Renal blood Flow in experimental septic acute renal failure // Kidney Int 69:1996. p. 2002-2006.

⁶ Anderson G.G, Goller C.C.: Polysccharide capsule and sialic acid mediated regulation prmote biofilm-like intracellular bacterial 390 communities during cystitis // Infect Immun 2010, 78: p. 963-975.

⁷ Qasimov E.K. Aliyarbayova A.A Structural changes of capsular.Glial and neural elements of the spinal ganglia in acute experimental edema. Light and electron mikroskopic studies // national J. Of Neurology (Scientific-practical journal). Baku, 2015, №1 (7). p. 31-39.

⁸ Qasimov E.K., Ayyubova G. M., et all. Structuctural changes in microvascular endotelial cells of brain sheath and spinal ganglia in experimental endotoxemia. Light and electron microscopic studies Международный журнал «Вестник морфологии», Украина, г, Винница, 2016, т,22, №1, стр, 7-16.

2. Endotoksemiya modeli yaratıldıqdan 6 saat sonra alınmış böyrək tikələrində kanalcıqlarda normal nüvəli, apoptoza uğrayan, nüvədə kariopiknoz, karioreksis və kariolizis dəyişikliklər baş vermiş hüceyrələri təyin etmək.
3. Eksperimental endotoksemiya modelindən alınmış böyrək tikələrində və tubulo-interstitzial nefritli xəstələrdən alınmış böyrək biopsiya nümunələrində bazal membranlarda patomorfoloji dəyişiklikləri ultrastruktur səviyyədə müəyyən etmək.
4. Eksperimental endotoksemiya modelində kanalcıqlararası strukturda yaranmış ödemi histokimyəvi və ultrastruktur səviyyədə tədqiq etmək.
5. Kəskin və xroniki tubulo-interstitzial nefrit xəstələrindən alınmış biopsiyalarda böyrəklərin proksimal və distal kanalcıqlarını təşkil edən hüceyrələrdə normal nüvəli, apoptoza uğrayan, kariopiknoz, karioreksis və kariolizis dəyişiklikləri təyin etmək.

Tədqiqatın material və metodları

Tədqiqat materiallarına lipopolisaxarid LPS endotoksini yeri-dilmiş siçovullardan alınmış böyrək biopsiyaları və 30 tubulo-interstitzial nefritli (TİN) xəstələrin biopsiyaları və kliniki məlumatları daxil edilmişdir. Tədqiqat obyekti kimi hazırda qüvvədə olan təlimata uyğun olaraq, çəkisi 200-250 qram olan, xüsusi şəraitdə yetişdirilmiş 30 yetkin laborator ağ siçovuldan və onlardan götürülmüş böyrək toxuması istifadə edilmişdir. Tədqiqatda nəzarət qrupu üçün istifadə olunmuş böyrək toxuması praktik sağlam hesab edilən siçovullar və insan biopsiyalarının mikroskopik nəticələri avtoqəza nəticəsində həlak olmuş 10 meyitdən alınmış autopsiya tikələri ilə müqayisə edilmişdir. Ultrastruktur müayinələrin normal göstəriciləri üçün KDIGO (Kidney Disease Improving Global Outcomes), (böyrək xəstəliyi üçün sübuta əsaslanan klinik praktika təlimatlarını işləyib hazırlayan və həyata keçirən qlobal qeyri-kommersiya təşkilatı) sistemində norma qəbul edilmiş pasportlaşmış məlumatlardan istifadə edilmişdir. Tubulo-interstitzial nefrit xəstələrinin biopsiya tikələrinin müayinəsində kanalcıqların dəyərləndirilməsi üçün göndəriş vərəqəsində qanda kreatinin, sidik cövhəri (SC), CRP (C-reaktive protein), sidikdə zülal, sidiyin bakterioloji müayinəsində E.Coli-nin

titri yüksək olan xəstə biopsiyalarının mikroskopiyasının təhlili aparılmışdır.

Tədqiqatda biopsiya və eksperimental endotoksemiya modelindən alınmış tikələri boyamaq məqsədi ilə “Chem Bio” firmasının istehsal etdiyi histokimyəvi boyaqlardan hematoksilin - eozin, “Masson Trixrom” (MT) və “Periodic Acid Schife” (PAS) üsulu, E.Coli LPS (2D7/1) 1/100-ə qarşı əks-cisiminin immuno-histokimyəvi boyama üsulu və dəyişikliklərin ultrastruktur səviyyədə araşdırılması məqsədi ilə alınmış ultranazik kəsiklər 80-120 kV gərginlik altında Yaponiya istehsalı olan JEM-1400 (JEOL-Japon) transmission elektron mikroskopunda tədqiq edilmiş və mikrofotoşəkillər çəkilmişdir.

Alınmış nəticələrinin dürüstlüğünü müəyyənləşdirmək üçün statistik üsullardan istifadə olunmuşdur. Vahidlərdən ibarət qrupların xarakteristikası variasiya analizi, kəmiyyət göstəricilərinin qruplar üzrə təsvirində orta və orta struktur göstəricilər hesablanmışdır. Keyfiyyət göstəricilərinin təsviri məqsədi ilə hər qrup üzrə intensivlik göstəricilərin tezliyi hesablanmış, müqayisələrin nəticələri χ^2 hər qrup üçün orta arifmetrik qiymət (m), orta arifmetrik qiymətin orta kvadratik meyli, onun standart xətası (Se) eyni zamanda sıraların minimal (min) və maksimal (max) qiymətləri müəyyən olunmuşdur. Alınmış nəticələr Pirson, U-Mann-Whitney (Vitmey) qrupların göstəriciləri arasında fərqli statistik dürüstlüyü t-Student-Bonferroni ilə dəyərləndirilmişdir. Qruplarda kəmiyyət göstəricilərinin müqayisə məqsədi ilə göstəricilər arasında fərqi qiymətləndirən qeyri-parametrik üsul – Manna-Uitninin U meyarında qruplar arasında statistik fərq $p<0,05$ olduqda dürüst hesab edilmişdir. Kəmiyyət göstəricilərinin səpələnməsi əsasında qrupdaxili və qruplararası dispersiyalar hesablanmış və “0 hipotezinin” qəbul və ya inkar edilməsi F-Fisher meyarı əsasında verilmişdir. Müayinə qruplarında müxtəlif göstəricilər arasında asılılığı aşkar etmək üçün korrelyasiya analizi aparılmışdır. Bu məqsədlə korrelyasiya əmsali hesablanmış və alınmış əmsalın dürüstlüğünü müəyyən etmək üçün tədqiqat işində etibarlı korrelyasiya əlaqələri nəzərə alınmışdır.

Müdafiəyə çıxarılan əsas müddəalar:

1. E.Coli LPS endotoksinini eksperimental modelə daxil etdikdən 6 saat sonra böyrək kanalcıqlarında orqanellər səviyyəsində ultrastruktur dəyişikliklərin olduğu müəyyən edilir.
2. Eksperimental endotoksemiya modelindən alınmış böyrək tıkələrindən və tubulo-interstsial nefrit xəstələrindən alınmış böyrək biopsiyalarında kanalcıqlarda normal nüvəli, apoptoza uğrayan, nüvədə kariopiknoz, karioreksis və kariolizis dəyişikliklər baş vermiş hüceyrələrin göstəriciləri statistik analizlə müəyyən edilir.
3. Xəstələrdə endotoksemiya hallarında klinik-laborator göstəricilər kreatinin, sidik cövhəri, SRP, sidikdə zülal və sidikdə E.Colinin kultivasiyasının nəticələrində olan dəyişiklərin spesifikliyini biopsiyaların patohistoloji analizi ilə təsdiqlənir.

Tədqiqat işinin elmi yeniliyi: Tədqiqatımız nəticəsində ilk dəfə olaraq endotoksemiya modelinin yaradılmasından 6 saat sonra böyrəklərin proksimal və distal kanalcıqlarının epitel hüceyrələrində E.Coli endotoksinin təsirindən baş vermiş dəyişikliklər kompleks olaraq təyin edilmiş və immunohistokimyəvi boyama üsulu ilə öyrənilmişdir.

Endotoksemiya modelinin yaradılmasından 6 saat sonra ultrastruktur səviyyədə böyrəklərin proksimal və distal kanalcıq epitel hüceyrələri arasındaki zədələnmə sahələrinin xüsusiyyətləri dəqiqləşdirilmişdir. İlk dəfə olaraq eksperimental endotoksemiya modeli yaradıldıqdan sonra və tubulo-interstsial nefrit xəstələrindən alınmış böyrək biopsiya nümunələrində kanalcıqlarda normal nüvəli hüceyrələrin, həmçinin nüvədə kariopiknoz, karioreksis, kariolizis dəyişikliklər və apoptoza uğramış hüceyrələrin patohistoloji və ultrastruktur səviyyədə xüsusiyyətləri müəyyən edilmişdir. Eyni zamanda ilk dəfə olaraq tubulo-interstsial nefritli xəstələrin biopsiyalarının və eksperimental endotoksemiya modelindən alınmış böyrək tıkələrinin patomorfoloji nəticələri ilə laborator analizlərin nəticələri arasında müqayisəli korrelyasiya aparılmışdır.

Tədqiqatın nəzəri və praktik əhəmiyyəti. Tədqiqat işinin elmi əhəmiyyəti kəskin böyrək zədələnməsi zamanı böyrək kanalcıqlarında və onların əhatəsində yerləşən strukturlarda baş verən dəyişikliklər kompleks şəkildə tədqiq edilmişdir. Azərbaycan Respublikasının

Prezidenti yanında Elmin İnkışafi Fondunun 2015-ci ilin əsas qrant müsabiqəsi çərçivəsində təqdim olunmuş kompleks elmi-tədqiqat programlarının (EİF-KETPL-2015-1(25)) qalibi olmuş “Azərbaycan Tibb Universitetində aparılan eksperimental-klinik yönümlü elmi-tədqiqat işləri zamanı patoloji dəyişikliklərin molekulyar-genetik dəyərləndirilməsinin təminini” mövzusunda layihə çərçivəsində, eləcə də böyrək xəstəliklərinin patologiyasında vəsait olaraq endotoksinlərin böyrək kanalcıqlarında yaratdığı dəyişikliklər nəticəsində alınmış preparat və şəkillərdən Patoloji anatomiya kafedrasının tədris işində istifadə edilmişdir. Kəskin endotoksemiya modelinin yaradılmasından sonra histokimyəvi, immunohistokimyəvi boyama üsulu ilə elektron mikroskopik müayinə ilə ultrastruktur səviyyədə kanalcıqları təşkil edən epitel hüceyrələrində aşkar edilmiş dəyişikliklər, böyrək xəstəliklərinin patomorfoloji diaqnostikasında və bunun nəticəsi olaraq gələcəkdə yeni müalicə prinsiplərinin seçilməsində əsas praktik əhəmiyyət kəsb edir.

Dissertasiya işinin yerinə yetirildiyi təşkilat. Dissertasiya işi Azərbaycan Tibb Universitetinin Patoloji anatomiya kafedrasında yerinə yetirilmişdir.

Dissertasiya işinin materiallarının aprobasiyası. Tədqiqat işinin materialları və ayrı-ayrı fraqmentləri bir çox elmi toplantınlarda və konfranslarda müzakirə edilmişdir.

- Turaz Akademiya, Türkiyə-Azərbaycan 1-ci Beynəlxalq Məhkəmə Tibbi Ekspertiza və Patoloji Konqresi. 13-16 Oktyabr, 2016-cı il, Bakı. Azərbaycan.
- Rusiya Patoloqlar Cəmiyyətinin V Konqresinin materialları. Çelyabinsk, 1-4 iyun 2017-ci il (Труды V Съезда Российского Общества Патологоанатомов. г. Челябинск, 1-4 июня 2017).
- 6th international Symposium-Cum-Training Course on Molecular Medicine and Drug Research (MMDR-6). November 2017. Pakistan (6-cı Beynəlxalq Molekulyar Təbabət və Dərman Tədqiqatları üzrə Simpozium və Təlim Kursu).
- XIV ümumdünya böyrək gününə həsr olunmuş “Müasir nefrologiyanın aktual problemləri” adlı elmi praktik konfransı. 14 Mart 2019. Bakı, Azərbaycan.

- Tibb fakültəsinin yaranmasının 100 illik yubileyinə həsr olunmuş beynəlxalq elmi- praktik konfransı. 18-19 Aprel 2019. Bakı, Azərbaycan.
- One health: Problems and solutions. 24.05.2019-25.05.2019. Bakı, Azərbaycan (Bir sağlamlıq. Problemlər və həll yolları. 24.05.2019-25.05.2019. Bakı, Azərbaycan).
- Azərbaycan Tibb Universitetinin Elmi Tədqiqat Mərkəzinin əməkdaşlarının birgə elmi yığıncağı. 08 İyul 2019-cu il. Bakı, Azərbaycan.
- 36-cı Ulusal nefroloji konqresi, 29-cu Ulusal Nefroloji hemşirelik konqresi. Antalya, Türkiyə. 16-20 Noyabr 2019 (36-cı Milli Nefroloqlar Konqresi, 29-cu Milli Nefroloji Tibb Bacıları Konqresi. Antalya, Türkiyə. 16-20 noyabr. 2019).
- ISN (International Society of Nephrology) World Congress of Nephrology Abu Dhabi 2020, UAE. Kidney international reports (2020) 5, p.34. Marth 01.2020 (Beynəlxalq Nefrologiya Cəmiyyəti, Dünya Nefrologiya Konqresi Abu Dhabi 2020, BƏƏ. Beynəlxalq böyrək hesabatları (2020) 5, səh.34. Marth 01.2020).
- 57th ERA (Europian Renal Assacation) – EDTA (European Association for Dialysis and Transplantation) Congress Abstracts. Nephrology Dialysis Transplantation p-419. 06 -09 june 2020 (Avropa Böyrək Assosiasiyası və Nefrologiya Dializ Transplantasiyası Konqresinin xülasələri p-419. 06-09 iyun 2020-ci il).
- Patoloji anatomiya kafedrasının əməkdaşlarının 25 yanvar 2022-ci il tarixində birgə elmi yığıncağı. Bakı, Azərbaycan.
- 10 iyun 2024-cü il tarixində Azərbaycan Prezidenti yanında Ali Attestasiya Komissiyasının Azərbaycan Tibb Universitetinin nəzdində fəaliyyət göstərən BED 4.20 Dissertasiya şurasının elmi seminarında.

Tədqiqat işinin praktikaya tətbiqi. Dissertasiya işi və onun nəticələrini Azərbaycan Tibb Universitetinin Patoloji anatomiya kafedrasında tədris prosesində, endotoksemiya modellərinin yaradılmasında Elmi Tədqiqat Mərkəzində istifadə oluna bilər. Həmçinin böyrək xəstəliklərinin ağrılaşmalarının və ölüm hallarının təyin olunmasında Səhiyyə Nazirliyi “Məhkəmə-tibbi ekspertiza və

Patoloji anatomiya Birliyi” publik hüquqi şəxs məhkəmə-histoloji və Patoloji Anatomiya şöbəsində tədqiqat məlumatı istifadə etmək olar.

Tədqiqatın Azərbaycan Tibb Universitetində planlaşdırılmış elmi işlərlə əlaqəsi. Dissertasiya işi və onun fraqmentləri Azərbaycan Tibb Universitetinin Patoloji anatomiya kafedrasında, Elmi Tədqiqat Mərkəzində, Elektron mikroskopiya laboratoriyasında və Səhiyyə Nazirliyi “Məhkəmə-tibbi ekspertiza və Patoloji anatomiya Birliyi” publik hüquqi şəxs məhkəmə-histoloji və Patoloji anatomiya şöbəsində aparılmışdır.

Dissertasiyanın həcmi və strukturu. Dissertasiya klassik stildə kompüterdə yığılmış 152 səhifədə (171496 işaret) şərh edilmiş və “Giriş” (həcmi 20528 işaret), “Yekun” (həcmi: 17157 işaret), “Nəticələr” (həcmi: 1975 işaret), “Praktiki tövsiyələr” (həcmi:1038), “İstifadə edilmiş ədəbiyyat siyahısı” struktur bölmələrindən ibarətdir. “Dissertasiya işinin əsas məzmunu” bölməsi 5 fəsilə ayrılmışdır. I Fəsil “Ədəbiyyat xülasəsi” (həcmi: 34777 işaret), II Fəsil: (həcmi: 19813 işaret), III Fəsil: (həcmi: 26729 işaret), IV Fəsil (həcmi: 7843 işaret), V Fəsil (həcmi 41562işarə).

TƏDQİQATIN NƏTİCƏLƏRİ VƏ ONLARIN MÜZAKİRƏSİ

Kəskin və xroniki tubulo-interstitial nefrit xəstələrinin klinik və morfoloji nəticələrinin statistik analizi

Müəyyən edilmişdir ki, tədqiqata cəlb edilmiş xəstələrin 12-sində (40%) kəskin TİN və 18-i (60%) xroniki TİN xəstəsi olmuşdur. Xəstələrdən 14-ü kişi (46,7%) və 16-sı (53,3%) qadın olmuşdur. Cədvəl 1-dən görünür ki, kəskin və xroniki TİN xəstələrindən götürülmüş biopsiyalar nəzarət qrupuna daxil edilmiş, praktik sağlam hesab edilən təsədüfi qəzalar nəticəsində olmuş 10 (100%) meyitdən götürülmüş böyrək tikələri ilə müqayisə edilmişdir. Kəskin və xroniki TİN xəstələrinin biopsiyalarının patomorfoloji müqayisəli öyrənilməsi məqsədilə seçilmiş qan analizlərinin nəticələri, sidikdə zülalın miqdarı və E.Coli bakteriyalarının kultivasiyasının təyininin statistik analizi aparılmışdır. Qruplararası müayinədə statistik dəyərləndirmədə SC-nin orta miqdarı KTİN $37,5 \pm 0,08$ mq/dl, XTİN-də $32,6 \pm 1,4$ mq/dl olmuşdur. Dispersiya analizinə əsasən, Fişer meyari müəyyən edilmişdir ($Pf=0,010$). Fişer meyarının qeyriparametrik yoxlanması zamanı $P>0,005$ olmuşdur. Kreatinin orta miqdarı KTİN-də $2,268 \pm 0,093$ mq/dl, XTİN-də isə

$1,78 \pm 0,090$ mq/dl-dir. Pf<0,001 və Pu<0,005 göstəriciləri statistik dürüst olmuşdur. CRP-nin nəticələrinin qruplararası müqayisəsi zamanı KTİN-də (n=12) $9,75 \pm 0,72$ mq/dl, XTİN-də isə (n=18) $13,56 \pm 0,80$ mq/dl olmuşdur. Pf=0,003, Pu<0,005 göstəriciləri statistik dürüst olmuşdur.

Sidikdə E.Coli-nin kultivasiyasının nəticələrinin qruplararası statistik müayinəsində E.Coli-nin nəticələrinin nəzarət qrupu ilə müqayisəsində KTİN xəstələrində $115,9 \pm 2,8$ CFU/ml, XTİN xəstələrində isə orta miqdarı $118,9 \pm 2,0$ CFU/ml olmuşdur. Fişərə görə Pf=0,037 və Pu>0,005 statistik dürüst olmuşdur (cədvəl 1).

Cədvəl 1.

Kəskin və xroniki tubulo-interstitzial nefrit xəstələrində qanda və sidikdə laborator müayinələrin xüsusiyyətləri.

Göstəricilər	N	M	$\pm m$	Min	Max	Pf	Pu
SC mq/dl	Xroniki	18	32.6	1.4	24.4	0,010	$P > 0,005$
	Kəskin	12	37.5	0.8	31.8		
Kreatinin mq/dl	Xroniki	18	1.758	0.090	1.29	0,001	$P < 0,005$
	Kəskin	12	2.268	0.093	1.68		
CRZ	Xroniki	18	13.56	0.80	8	0,003	$P < 0,005$
	Kəskin	12	9.75	0.72	7		
Sidikdə zülal q/l	Xroniki	18	0.254	0.090	0.021	0,146	$P > 0,005$
	Kəskin	12	0.087	0.021	0.01		
Sidikdə E.Coli CFU/ml	Xroniki	18	118.9	2.0	107	0,037	$P > 0,005$
	Kəskin	12	115.9	2.8	103		
					134		

Qeyd. Burada və sonrakı cədvələrdə N- müşahidələrin sayı; Min- sıranın minimum göstəricisi; Max- sıranın maksimum göstəricisi. Pf- Fişər meyari; Pu-Uilokokson-Manna-Uitninin qeyri-parametrik U meyari.

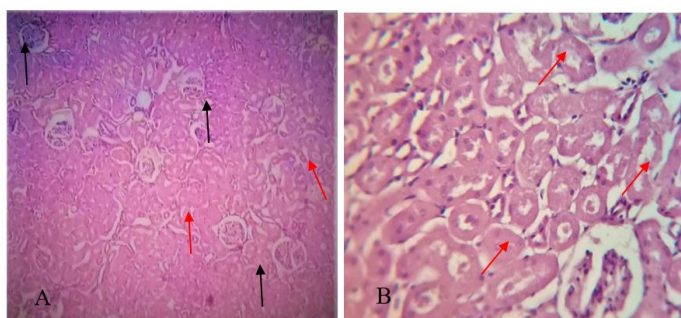
Nəzarət və eksperimental endotoksemiya qrupuna daxil olan heyvanların böyrək kanalçılarının histoloji xüsusiyyətləri.

Eksperimental endotoksemiya modelinin nəzarət qrupuna daxil olmuş sağlam siçovulları cansızlaşdırırmazdan əvvəl heyvanların hərarəti ölçülmüş, tük örtüyünün hamar və six olduğu qeyd edilmişdir.

Nəzarət qrupuna daxil edilmiş siçovulların böyrəkləri çıxarılmazdan əvvəl quyruq venasından biokimyəvi müayinələr üçün qan alınmış, daha sonra qarın boşluğu açılmış və siçovulların böyrəkləri çıxarıldıqdan sonra böyrəklər vizual olaraq makroskopik müayinə edilmişdir. Belə ki, böyrəklər adı, normal ölçüdə olub rəngi təbii qırmızımtıldır. İncə və hamar kapsulun olması ilə xarakterizə

olunur. Hər iki böyrək toxumasından götürülmüş tikələrdən hazırlanmış preparatların işiq mikroskopu ilə müayinəsində hematoksilin - eozin üsulu ilə boyadıqda qabiq maddədə nefronların sıxlığı normaldır. Bəzi nefronların Boumen kapsulu açıq normaya uyğun boyanmışdır. Böyrəklərin qabiq və beyin qatında ekssudasiya və limfo-leykositar infiltrasiya nəzərə çarpmamışdır.

Eksperimental endotoksemiya modeli yaradılmış siçovulların böyrəklərindən alınmış tikələrdən hazırlanmış preparatlar işiq mikroskopu ilə müayinə olunması məqsədilə hematoksilin - eozin boyağı ilə boyandıqdan sonra yumaqcıq, kanalcıqlar və interstsial sahədə xarakter nəzərəçarpacaq dəyişikliklərlə özünü göstərmişdir. LPS E.Coli endotoksininin yeridilməsindən 6 saat sonra yumaqcıqlarda və interstsial sahədə ödem, kanalcıqlarda nekrobiotik dəyişikliklər müşahidə edilmişdir. Müayinə zamanı böyrəklərin proksimal və distal kanalcıqlarında geridönən və geridönməyən patomorfoloji dəyişikliklər aşkar edilmişdir. Bir çox yumaqcıqlarda endotoksemiya nəticəsində yaranmış iltihab ilə əlaqədar Boumen boşluğununda iltihab və ödem aşkar edilmiş, böyrək toxumasının qabiq və beyin maddəsində yerləşmiş yumaqcıqlarda ödem ilə əlaqədar destruktiv dəyişikliklər müşahidə olunmuşdur. Belə ki, eksperimental endotoksemiya modelindən 6 saat sonra böyrəklərin qabiq qatında nefron aparatında sayın azalması (Şəkil 1A) və bəzi sahələrdə isə nefronların tamamilə dağılması müşahidə edilmişdir.



Şəkil 1. Eksperimental endotoksemiya modeli. Böyrək toxumasında patomorfoloji dəyişikliklər. Yumaqcıq (A), proksimal və distal kanalcıqlar (B). Hematoksilin - eozin üsulu ilə boyama. Büyütmə x200

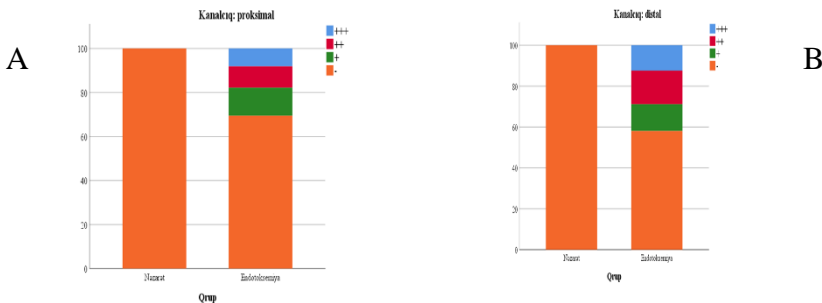
Şəkil 1B-dən göründüyü kimi kəskin endotoksemiya ilə əlaqədar zədələnmə ilə yanaşı digər görmə sahələrində kapılıyar ilgəklərin ödemi və təbəqələrə ayrılması müşahidə edilir.

Proksimal kanalcıqların bazal membranlarında ödemlə əlaqədar şismə nəticəsində bir qədər qalınlaşma, hüceyrələrdə isə sitoplazmada vakuollar şəklində hidropik distrofiya müşahidə olunur və normal epitel strukturunitməsi təzahür edir. Proksimal kanalcıqların bəzi sahələrində LPS endotoksinin təsirindən “membran cirilması” membranoreksis müşahidə edilir. Hüceyrələrdə tək-tək apoptoz cisimcikləri aşkar edilmişdir. LPS endotoksinin təsirindən dəyişikliklərlə əlaqədar nüvələrdə kariopiknoz, karioreksis və kariolizis yaranmış və hüceyrələrin apikal hissəsində yerləşən mikroxovları itirmişdir. Bunun nəticəsi olaraq, kanalcıqların mənfəzi bir qədər daralmışdır. Bəzi kanalcıqlarda isə kariolizislə əlaqədar kanalcıqların fokal nekroz sahələri qeyd olunmuşdur. Distal kanalcıqların bazal membranında yerləşmiş hüceyrələrin apikal səthi zədələnmiş, membranı tamlığıını itirmiş, kanalcıqların mənfəzi hüceyrələrin ödemi hesabına daralmış və bəzi sahələrdə kəskin destruktiv dəyişikliklər müşahidə edilmişdir. Kanalcıqların bazal membranlarında membranoreksis, hüceyrə və orqanellərin destruksiyası, fokal nekrobioz sahələrinin olması, bəzi kanalcıqlarda isə epitel hüceyrələrinin sitoplazmasında distrofik dəyişikliklər aşkar edilir. Distal kanalcıqların hüceyrələrinin apikal səthi zədələnmiş, fokal destruktiv dəyişikliklər müşahidə olunmuşdur.

Eksperimental endotoksemiya modelində böyrəklərin proksimal və distal kanalcıqlarında E.Coli LPS (2D7/1)-ə endotoksininə qarşı yaranan əks-cisimlərin patomorfoloji dəyişikliklərinin immunohistokimyəvi boyama üsulu ilə təyini xüsusiyyətləri.

Eksperimental endotoksemiya modeli yaradıldıqdan 6 saat sonra proksimal və distal kanalcıqlarda E. Coli LPS endotoksinə qarşı yaranmış əks-cisimləri aşkar etmək məqsədilə E.Coli LPS (2D7/1) immunohistokimyəvi boyağının boyanma xüsusiyyətini analiz etdiqdə, nəzarət qrupunda qrupdaxili proksimal və distal kanalcıq hüceyrələrində proksimal ($n=10$) və distal kanalcıq ($n=10$) hüceyrələrində boyanma qeydə alınmışdır. E.Coli LPS (2D7/1) immunohistokimyəvi boyağı ilə boyanmanın qiymətləndirmək üçün

proksimal və distal kanalcılarda 3 (+++) müsbət boyanma, 2 müsbət boyanma (++) və 1 müsbət (+) boyanma göstəricilərinin orta boyanma sayı, minimum və maksimum göstəriciləri hesablanmışdır. Diaqram 1 A və B-də qrafik olaraq təsvir edilmişdir.

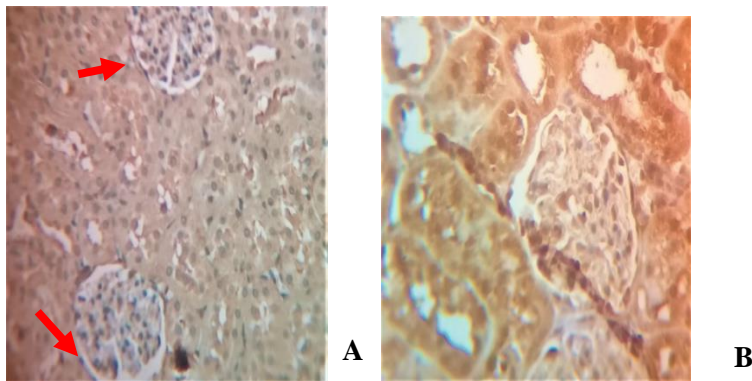


Diaqram 1. E.Coli LPS endotoksinin yeridilməsindən 6 saat sonra böyrəklərin proksimal və distal kanalcıq hüceyrələrində E.Coli LPS (2D7/1) əks-cisimlərin immunohistokimyəvi üsulla boyanma xüsusiyyətləri.

Qrupdaxili Fişərə görə, $Pf<0,001$ və Uilkoksona görə $Pu=1,000$ olmuşdur. LPS (2D7/1) immunohistokimyəvi boyağı proksimal kanalcıq epitel hüceyrələrində ($n=20$), 3 müsbət (+++) boyanmış hüceyrələrin orta sayı $8,10 \pm 0,73$, minimum 4 hüceyrə və maksimum 14 hüceyrə, distal kanalcıq hüceyrələrində ($n=20$), $12,25 \pm 0,99$ hüceyrə, minimum 7, maksimum 25 hüceyrə və qrupdaxili müqayisədə Fişərə görə $Pf<0,001$ və $Pu<0,001$ statistik dürüst olmuşdur.

E.Coli LPS (2D7/1) immunohistokimyəvi boyağı ilə proksimal kanalcıq hüceyrələrində baş vermiş ($n=20$), 2 müsbət (++) boyanmış hüceyrələrin orta sayı $(9,70 \pm 0,79)$ hüceyrə, minimum 4 hüceyrə və maksimum 20 hüceyrə, distal kanalcıq hüceyrələrində ($n=20$), $16,45 \pm 0,88$, minimum 10, maksimum 22 hüceyrə və qrupdaxili müqayisədə Fişərə görə, $Pf<0,001$ və $Pu<0,001$ olmuşdur. Qrupdaxili tədqiqata daxil edilmiş kriteriyalara görə, proksimal və distal kanalcıq epitel hüceyrələrində baş vermiş dəyişikliklər statistik dürüst olmuşdur. E.Coli LPS (2D7/1) immunohistokimyəvi boyağı ilə proksimal kanalcıq epitel hüceyrələrdə, 1 müsbət (+) boyanmış hüceyrələrin orta sayı $12,75 \pm 0,69$ hüceyrə, minimum 8 hüceyrə və

maksimum 20 hüceyrə, distal kanalcıq hüceyrələrində, $13,10 \pm 0,77$, minimum 8, maksimum 20 hüceyrə və qrupdaxili Fişerə görə $P_f=0,737$ və $P_u=0,837$ olub statistik dürüstlük göstərmişdir (şəkil 2).



Şəkil 2. Eksperimental endotoksemiya modeli. Yumaqcıq, proksimal (A) və distal kanalcıqlar (B). E.Coli LPS (2D7/1)-in immunohistokimyəvi üsulu ilə boyaması. Böyütmə x 200.

Qrupdaxili tədqiqata daxil edilmiş meyarlara görə proksimal və distal kanalcıq hüceyrələrində baş vermiş dəyişikliklər statistik dürüst olmamışdır. E.Coli LPS (2D7/1) immunohistokimyəvi boyağı ilə boyanmamış proksimal kanalcıq epitel hüceyrələrində (-) boyanmayan hüceyrələrin orta sayı $69,45 \pm 0,92$ hüceyrə, minimum 61 hüceyrə və maksimum 76 hüceyrə, distal kanalcıqların epitel hüceyrələrində $58,05 \pm 1,17$, minimum 45, maksimum 65 hüceyrə və qrupdaxili Fişerə görə, $P_f < 0,001$ və $P_u < 0,001$ olub dürüstdür. Beləliklə, qrupdaxili tədqiqatlara görə, proksimal və distal kanalcıq epitel hüceyrələrində E.Coli LPS (2D7/1) immunohistokimyəvi boyağının istifadəsində alınmış göstəricilər statistik olaraq dürüst olmuşdır.

Eksperimental endotoksemiya modelində qruplararası proksimal kanalcıq hüceyrələrində E.Coli LPS (2D7/1) immunohistokimyəvi boyağının boyanmasının statistik xüsusiyyətlərinə nəzər yetirək, nəzarət qrupunda E.Coli LPS (2D7/1) immunohistokimyəvi boyağı ilə 3 müsbət (+++), 2 müsbət (++) və 1 müsbət (+) olaraq qeyd edilən hüceyrələrin boyanma xüsusiyyətlərinə görə, orta boyanma sayı minimum və maksimum göstəricilər 0 olmuş, endotoksemiya modelindən 6 saat sonra böyrək tikələrinin E.Coli LPS (2D7/1)

immunohistokimyəvi boyanmasından alınmış preparatlarda, 3 müsbət boyanmada orta boyanma sayı $8,10 \pm 0,73$, minimum 4 hüceyrə və maksimum 14 hüceyrə və qruplararası Fişərə görə $Pf < 0,001$ və $Pu < 0,001$ olmuş və statistik dürüst nəticələr vermişdir.

Proksimal kanalcıqların, E.Coli LPS (2D7/1) immunohistokimyəvi boyağı ilə 2 müsbət boyanmasında (++) orta boyanma sayı $9,70 \pm 0,79$, minimum 4 hüceyrə və maksimum 20 hüceyrə və qruplararası Fişərə görə $Pf < 0,001$ və $Pu < 0,001$ olmuş və statistik dürüst nəticə alınmışdır. Proksimal kanalcıqların, E.Coli LPS (2D7/1) immunohistokimyəvi boyağı ilə 1 müsbət (+) boyanmış hüceyrələrin orta sayı $12,75 \pm 0,69$, minimum 8, maksimum 20 hüceyrə və qruplararası Fişərə görə $Pf < 0,001$ və $Pu < 0,001$ olmuş və statistik dürüst nəticə alınmışdır. E.Coli LPS (2D7/1) immunohistokimyəvi boyağı ilə boyanmayan hüceyrələrin orta sayı $69,45 \pm 0,92$, minimum 61, maksimum 76 hüceyrə və qruplararası Fişərə görə $Pf < 0,001$ və $Pu < 0,001$ olmuş və statistik dürüst nəticə alınmışdır.

Eksperimental endotoksemita modelində qruplararası müayinədə distal kanalcıq hüceyrələrində E.Coli LPS (2D7/1) eks-cisimləri aşkar etmək məqsədilə immunohistokimyəvi boyağının boyanmasının statistikasına nəzər yetirsək, nəzarət qrupunda E.Coli LPS (2D7/1) immunohistokimyəvi boyağı ilə 3 müsbət (+++), 2 müsbət (++) və 1 müsbət (+) olaraq qeyd edilən hüceyrələrin boyanma xüsusiyətlərinə görə, orta boyanma sayı, minimum və maksimum göstəricilər 0 (-) olmuşdur. Endotoksemita modelindən 6 saat sonra alınmış böyrək tikələrinin E.Coli LPS (2D7/1) immunohistokimyəvi boyanmasından alınmış preparatlarda, 3 (++) müsbət boyanmada orta boyanma sayı $12,40 \pm 0,99$, minimum 7 hüceyrə və maksimum 25 hüceyrə və qruplararası Fişərə görə, $Pf < 0,001$ və $Pu < 0,001$ olmuş və statistik dürüst nəticə alınmışdır. 2 (++) müsbət boyanmada orta boyanma sayı $16,45 \pm 0,88$, minimum 10 hüceyrə və maksimum 22 hüceyrə və qruplararası Fişərə görə, $Pf < 0,001$ və $Pu < 0,001$ olmuş və statistik dürüst nəticə alınmışdır. Proksimal kanalcıqların, E.Coli LPS (2D/1) immunohistokimyəvi boyağı ilə 1 müsbət (+) boyanmış hüceyrələrin orta sayı $13,10 \pm 0,77$, minimum 8, maksimum 20 hüceyrə və qruplararası Fişərə görə, $Pf < 0,001$ və $Pu < 0,001$ olub statistik dürüst nəticə alınmışdır. E.Coli LPS (2D7/1) eks-cisimləri aşkar

etmək məqsədilə immunohistokimyəvi üsulla boyanmayan hüceyrələrin orta sayı $58,05 \pm 1,17$, minimum 45, maksimum 65 hüceyrə və qruplararası Fişərə görə, $Pf < 0,001$ və $Pu < 0,001$ olmuş və dürüst nəticə alınmışdır.

TUBULO-İNTERSTITİSİAL NEFRİT XƏSTƏLƏRİNİN BÖYRƏK BIOPSİYA NƏTİCƏLƏRİNİN STATİSTİK XARAKTERİSTİKASI

Kəskin və xroniki TİN xəstələrindən alınmış və E.Coli LPS (2D7/1) əks-cisimlərinin təyini üçün immunohistokimyəvi boyaq ilə pozitiv boyanmış böyrək biopsiyalarının tədqiqi məqsədilə göndəriş vərəqəsində laborator göstəricilərdə kretinin, sidik cövhəri, SRP və sidikdə E.Colinin kultivasiyasında titri yüksək olmuş xəstələrin laborator nəticələrindən istifadə edilmişdir. Belə ki, kəskin ($n=12$) və xroniki ($n=18$) TİN xəstələrinin statistik analizində qrupdaxili və qruplararası parametrlərə görə müqayisəli analiz aparılmışdır. Nəzarət qrupuna nisbətdə statistik dürüstlük yoxlanılmışdır. Kəskin ($n=12$) və xroniki ($n=18$) TİN xəstələrinin biopsiyalarının patomorfoloji müayinəsində proksimal və distal kanalcıq hüceyrələrində baş vermiş zədələnmələrin statistik təhlili zamanı aşağıdakı nəticələr əldə edilmişdir. Qruplararası nəticələrin analizində proksimal kanalcıq hüceyrələri nəzarət qrupunun göstəriciləri ilə müqayisəli təhlil edilərək statistik dürüstlük müəyyən edilmişdir.

Qruplararası müqayisədə nəzarət qrupu ilə müqayisədə kəskin və xroniki TİN xəstələrinin biopsiya tikələrində böyrəklərin proksimal kanalcıqlarında patohistoloji dəyişikliklərinin statistik dürüst olduğu cədvəl 2-də öz əksini tapmışdır. Nəzarət qrupundan alınmış böyrək autopsiya tikələrini rutin istifadə olunan hematoksilin - eozin boyama üsulu ilə boyanmışdır. Nəzarət qrupu və TİN xəstələrinin proksimal və distal kanalcıq hüceyrələrindən alınmış dəyişikliklərin statistik nəticələrinə nəzər yetirsək, nəzarət qrupunda normal hüceyrələrin ($n=10$), $96,3 \pm 0,4$, minimum 94, maksimum 98 hüceyrə, kəskin və xroniki TİN xəstələrində ($n=30$), orta göstərici $67,5 \pm 0,3$, minimum 64, maksimum 70 hüceyrə, qruplararası Fişərə görə $Pf < 0,001$ və $Pu < 0,001$ statistik dürüst olmuşdur. Nəzarət qrupunda apoptoza uğramış hüceyrələrin orta sayı $1,5 \pm 0,3$, minimum 1, maksimum 4 hüceyrə, kəskin və xroniki TİN xəstələrində ($n=30$), isə orta sayı $11,6 \pm 0,3$, minimum 9, maksimum 16

hueçeyrə, qruplararası müqayisədə Fişerə görə, Pf<0,001 və Uilkoksona görə Pu<0,001 statistik dürüst olmuşdur.

Nüvələrdə karioreksis dəyişikliklər yaranmış hueçeyrələrin orta sayı nəzarət qrupunda 0, minimum 0, maksimum 2 hueçeyrə, kəskin və xroniki TİN xəstələrində orta hueçeyrə sayı $4,67 \pm 0,23$, minimum 3, maksimum 8 hueçeyrə və qruplararası Fişerə görə, Pf<0,001 və Pu<0,001 olub statistik dürüstdür. Nüvələrdə kariolizis dəyişikliklər olmuş hueçeyrələrin orta sayı $0,300 \pm 0,153$, minimum 0 hueçeyrə və maksimum 1 hueçeyrə, kəskin və xroniki TİN xəstələrində orta hueçeyrə sayı $4,667 \pm 0,422$, minimum 1, maksimum 8 hueçeyrə və qruplararası Fişerə görə Pf<0,001 və Pu<0,001 olub statistik dürüstdür. Nəzarət qrupunda da tədqiqata daxil edilmiş kriteriyalara görə hueçeyrələrdə baş vermiş dəyişikliklər statistik dürüst olmuşdur.

Cədvəl 2.

Nəzarət qrupu, kəskin və xroniki tubulo-interstitcial nefrit xəstələrinin böyrək biopsiyaların proksimal kanalcıqlarında epitel hueçeyrələrin nüvəsində olan dəyişikliklərin müqayisəli xarakteristikası

Göstəricilər		N	M	M	Min	Max	Pf	Pu
Normal hueçeyrələr (pr)	Nəzarət	10	96.3	0.4	94	98	<0,001	<0,001
	TİN	30	67.5	0.3	64	70		
Apoptoza uğrayan hueçeyrələr (pr)	Nəzarət	10	1.5	0.3	1	4	<0,001	<0,001
	TİN	30	11.6	0.3	9	16		
Nüvələrdə kariopiknoz dəyişikliklər olan hueçeyrələr (pr)	Nəzarət	10	1.0	0.211	0	2	<0,001	<0,001
	TİN	30	11.5	0.274	9	14		
Nüvələrdə karioreksis dəyişikliklər olan hueçeyrələr (pr)	Nəzarət	10	0.90	0.18	0	2	<0,001	<0,001
	TİN	30	4.67	0.23	3	8		
Nüvələrdə kariolizis dəyişikliklər olan hueçeyrələr (pr)	Nəzarət	10	0.3	0.153	0	1	<0,001	<0,001
	TİN	30	4.67	0.422	1	8		

Kəskin və xroniki TİN xəstələrinin qrupdaxili müqayisəsində cədvəl 3-dən göründüyü kimi normal hueçeyrələrin orta sayı kəskin

TİN-də $67,8 \pm 0,4$, minimum 66, maksimum 70 hüceyrə, hüceyrələrin orta sayı xroniki TİN-də hüceyrələrin orta sayı $67,4 \pm 0,4$, minimum 64, maksimum 70 hüceyrə və qruplararası müqayisədə Fişərə görə, Pf=0,501, Pu=0,662 alınmış və statistik dürüstlük əldə edilməmişdir.

Qrupdaxili müqayisədə kəskin və xroniki TİN xəstələrində biopsiyalarda apoptoza uğramış hüceyrələrin orta sayıda fərqli statistik nəticələr alınmışdır. Kəskin TİN-də $11,4 \pm 0,4$, minimum 9, maksimum 13 hüceyrə, xroniki TİN-də $11,8 \pm 0,4$, minimum 9, maksimum 16 hüceyrə və qrupdaxili müqayisədə Fişərə görə, Pf=0,545, Pu=0,692 olmuş və statistik nəticə düzüst olmamışdır.

Cədvəl 3

Kəskin və xroniki tubulo-interstitzial nefrit xəstələrinin böyrək biopsiyalarında proksimal kanalçıların epitel hüceyrələrində nüvədə olan dəyişikliklərin qrupdaxili xüsusiyyətlərinin statistik göstəriciləri

Göstəricilər		N	M	$\pm m$	Min	Max	Pf	Pu
Normal hüceyrələr (pr)	Xroniki	18	67.4	0.4	64	70	0,501	0,662
	Kəskin	12	67.8	0.4	66	70		
Apoptoz uğramış hüceyrələr (pr)	Xroniki	18	11.8	0.4	9	16	0,545	0,692
	Kəskin	12	11.4	0.4	9	13		
Kariopiknozlu hüceyrələr (pr)	Xroniki	18	11.611	0.363	9	14	0,628	0,662
	Kəskin	12	11.333	0.432	9	14		
Karioreksisli hüceyrələr (pr)	Xroniki	18	4.83	0.32	3	8	0,377	0,491
	Kəskin	12	4.42	0.31	3	6		
Kariolizisli (pr)	Xroniki	18	4.389	0.537	1	8	0,429	0,465
	Kəskin	12	5.083	0.690	1	8		

Tədqiqata müvafiq olaraq, nüvədə kariopiknoz dəyişikliklər olan hüceyrələrin orta sayı kəskin TİN xəstələrində $11,333 \pm 0,363$, minimum 9, maksimum 14, xroniki TİN xəstələrində $11,611 \pm 0,432$ minimum hüceyrə sayı 9, maksimum 14 hüceyrə olmuş Pf=0,628 və Pu=0,662 statistik düzüst nəticə əldə edilməmişdir.

Kəskin TİN xəstələrində nüvələrdə karioreksis dəyişikliklər olan hüceyrələrin orta sayı $4,42 \pm 0,31$, minimum 3, maksimum 6 hüceyrə, xroniki TİN xəstələrində $4,83 \pm 0,32$, minimum 3, maksimum 8

hueyərə, Fişerə görə, Pf=0,377, Pu=0,491 statistik fərqlənmiş və dürüst olmamışdır. Proksimal kanalcıqlarda nüvələrdə kariolizis dəyişikliklərlə xarakter hueyərələrin orta sayı kəskin TİN xəstələrində $5,083 \pm 0,690$, minimum 1, maksimum 8, Fişerə görə, Pf=0,429 və Pu=0,465 statistik dürüst olmamışdır.

Qrupdaxili müqayisədə distal kanalcıqlarda normal hueyərələrin orta sayı kəskin TİN xəstələrində $73,1 \pm 0,5$, minimum 51, maksimum 58 hueyərə olmuş, xroniki TİN xəstələrində hueyərələrin orta sayı $54,2 \pm 0,5$, minimum 51, maksimum 58 hueyərə və qrupdaxili Fişerə görə, Pf<0,001, Pu<0,001 statistik dürüst olmuşdur.

Biopsiyalarda distal kanalcıqlarda apoptoza uğramış hueyərələrin orta sayı müvafiq olaraq kəskin TİN xəstələrində $12,3 \pm 0,3$, minimum 11, maksimum 14 hueyərə, xroniki TİN xəstələrində $27,8 \pm 0,4$, minimum 25, maksimum 31 hueyərə və qrupdaxili müqayisədə Fişerə, görə Pf=0,577, Pu=0,491 olub, statistik dürüst nəticə göstərməmişdir. Distal kanalcıqlarda kariopiknoz dəyişikliklər yaranmış hueyərələrin orta sayı kəskin TİN xəstələrində $11,083 \pm 0,484$, minimum 8, maksimum 13, xroniki TİN xəstələrində orta hueyərə sayı $10,389 \pm 0,304$ olmuşdur. Minimum hueyərə sayı 8, maksimum 13 hueyərə olmuş, Fişerə görə, Pf=0,628 və Pu=0,662 olub statistik dürüst olmamışdır. Kəskin TİN xəstələrində distal kanalcıqlarda karioreksis dəyişikliklər olmuş hueyərələrin orta sayı $3,00 \pm 0,30$, minimum 2, maksimum 5 hueyərə, xroniki TİN xəstələrində orta hueyərə sayı $3,89 \pm 0,40$, minimum 2, maksimum 8 hueyərə olub, Fişerə görə, Pf=0,114 və Pu=0,158 statistik fərqlənmiş və dürüst olmamışdır. Distal kanalcıqların nüvələrində kariolizis dəyişikliklər olan hueyərələrin orta sayı kəskin TİN xəstələrində $1,667 \pm 0,310$, minimum 2, maksimum 7, Fişerə görə, Pf<0,001 Pu<0,001 olub statistik dürüst nəticə alınmışdır.

TİN xəstələrinin böyrək tikələrindən alınmış kəsiklərində distal kanalcıq epitel hueyərələrində tədqiqat məqsədilə tətbiq olunan E. Coli LPS (2D7/1) əks-cisimləri aşkar etmək məqsədilə immunohistokimyəvi boyağın boyanma xarakteristikasını statistik analiz etdikdə görünür ki, nəzarət qrupunda boyanma qeydə alınmamışdır.

TİN xəstələrində distal kanalcıqlarda E.Coli LPS (2D7/1) immunohistokimyəvi boyağı ilə 3 müsbət (++) boyanan hueyərələrin

orta sayı $3,87 \pm 0,24$, minimum 1, maksimum 6 hüceyrə, E.Coli LPS (2D7/1) immunohistokimyəvi boyağı ilə 2 müsbət (++) boyanan hüceyrələrin orta sayı $10,60 \pm 0,41$, minimum 6, maksimum 15, E.Coli LPS (2D7/1) immunohistokimyəvi boyağı ilə 1 müsbət (+) boyanan hüceyrələrin orta sayı $18,37 \pm 0,44$, minimum 14, maksimum 24, E.Coli LPS (2D7/1) immunohistokimyəvi boyağı ilə boyanmayan distal hüceyrələrin orta sayı 67, $17 \pm 0,41$, minimum 62, maksimum 71 olmuşdur. Qruplararası Fişərə görə, $Pf < 0,001$ və $Pu < 0,001$ statistik dürüst nəticə alınmışdır.

Nəzarət qrupundan alınmış böyrək tikələri və TİN xəstələrinin böyrək biopsiyalarından hazırlanmış kəsiklərdə proksimal kanalcıq epitel hüceyrələrində tədqiqat məqsədilə istifadə olunan E.Coli LPS (2D7/1) əks-cisiminin immunohistokimyəvi üsulla boyanma xarakteristikasını analiz etdikdə nəzarət qrupunda boyanma qeydə alınmamışdır. Proksimal kanalcıqlarda E.Coli LPS əks-cisinin (2D7/1) immunohistokimyəvi üsulla 3 (+++) müsbət boyanma, 2 müsbət boyanma (++) və 1 müsbət (+) boyanma göstəriciləri, boyanmış hüceyrələrin minimum və maksimum sayı və orta sayı təyin edilmişdir. TİN xəstələrində proksimal kanalcıqlarda E.Coli LPS (2D7/1) əks-cisinin immunohistokimyəvi üsulla boyanması ilə 3 müsbət boyanan hüceyrələrin orta sayı $10,03 \pm 0,21$, minimum 7, maksimum 12 hüceyrə, E.Coli LPS (2D7/1) immunohistokimyəvi üsulla 2 müsbət boyanan hüceyrələrin orta sayı $10,17 \pm 0,37$, minimum 4, maksimum 15, E.Coli LPS (2D7/1) əks-cisinin təyinində immunohistokimyəvi üsulla 1 müsbət boyanan hüceyrələrin orta sayı $10,17 \pm 0,37$, minimum 7, maksimum 14 olmuşdur. E.Coli LPS (2D7/1) əks-cisinin immunohistokimyəvi boyağı ilə boyanmayan proksimal hüceyrələrin sayı $70,03 \pm 0,51$, minimum 64, maksimum 79 olmuşdur. Qruplararası Fişərə görə $Pf < 0,001$ və $Pu < 0,001$ olub statistik dürüst nəticələr alınmışdır. Nəzarət qrupu və TİN xəstələrinin böyrək tikələrindən alınmış kəsiklərində distal kanalcıq epitel hüceyrələrində tədqiqat məqsədilə tətbiq olunan LPS (2D7/1) əks-cisinin təyinində immunohistokimyəvi boyama üsulu ilə boyanma xarakteristikasını statistik analiz etdikdə görünür ki, nəzarət qrupunda boyanma qeydə alınmamışdır.

TİN xəstələrində distal kanalcıqlarda E.Coli LPS (2D7/1) əks-cisinin təyinində immunohistokimyəvi üsulla 3 müsbət (++) boyanan hüceyrələrin orta sayı $3,87 \pm 0,24$, minimum 1, maksimum 6 hüceyrə olub,

E.Coli LPS (2D7/1) əks-cisimin təyinində immunohistokimyəvi üsulla 2 müsbət (++) boyanan hüceyrələrin orta sayı $10,60 \pm 0,41$, minimum 6, maksimum 15, E.Coli LPS əks-cisimin təyinində (2D7/1) immunohistokimyəvi üsulla 1 müsbət (+) boyanan hüceyrələrin orta sayı $18,37 \pm 0,44$, minimum 14, maksimum 24, E.Coli LPS əks-cisimin təyinində (2D7/1) immunohistokimyəvi boyağı ilə boyanmayan distal hüceyrələrin orta sayı 67, $17 \pm 0,41$, minimum 62, maksimum 71 olmuşdur. Qruplararası Fişərə görə, $Pf < 0,001$ və $Pu < 0,001$ statistik dürüst nəticə alınmışdır.

NƏTİCƏLƏR

1. E. Coli LPS (2D7/1) əks-cisimin təyinində immunohistokimyəvi boyaq ilə eksperimental modeldə proksimal və distal, TİN xəstələrində isə proksimal kanalcıq epitel hüceyrələrində 2 müsbət boyanma üstünlük təşkil etmişdir. [12, 15].
2. Eksperimental endotoksemiya modeli yaradıldıqdan 6 saat sonra böyrəklərin proksimal kanalcıqlarında apoptoza uğrayan hüceyrələrin orta göstəricisi $Pk 14,20 \pm 0,82$, $Dk 12,80 \pm 0,68$, nüvəsində kariopiknoz dəyişikliklər olan hüceyrələr $Pk 16,40 \pm 0,87$, $Dk 1,40 \pm 0,79$, nüvəsində karioreksis dəyişikliklər olan hüceyrələr $Pk 5,50 \pm 0,47$, $Dk 4,55 \pm 0,43$ və nüvəsində kariolizis dəyişikliklər olan hüceyrələr $Pk 0,40 \pm 0,16$, $Dk 2,85 \pm 0,32$, $P < 0,005$ olmuşdur [5, 13].
3. Endotoksemiya modelində E.Coli endotoksinin böyrəklərin proksimal və distal kanalcıqlarında, ultrastruktur səviyyədə hüceyrələrin apikal hissəsini örtən mikrooxvlarda, mitoxondrlərdə, lizosomlarda, endoplazmatik şəbəkə və nüvədə destruktiv dəyişikliklər qeyd edilmişdir. KTİN xəstələrində bazal membranların ödemi ilə əlaqədar kövşəkləşməsi göründüyü halda, XTİN xəstələrinində xroniki iltihab ilə əlaqədar birləşdirici toxumanın artması hesabına kanalcıqların bazal membranlarında qalınlaşma müşahidə edilmişdir [2, 4, 13, 16].
4. Eksperimental endotoksemiya modeli yaradıldıqdan 6 saat sonra kanalcıqlararası strukturda, proksimal və distal kanalcıqlararası sahənin artması toxumaası ödemin hesabına olmuşdur. Bu strukturların pozulması PAS və Massson trixrom histokimyəvi boyama üsulu ilə təsdiqlənmişdir. Ultrastruktur səviyyədə

kanalcıqları əhatə edən kövşək bilrəşdirici toxuma elementləri qırılmış və tamlığını itirmişdir [1, 2, 3, 7].

5. Kəskin və XTİN xəstələrinin böyrək biopsiyalarının apoptoza uğrayan hüceyrələrin, kariopiknoz, karioreksis və kariolisis dəyişikliklərin və kanalcıqların apikal hissəsini döşəyən mikroxovların toksiki təsir nəticəsində zədələnməsi müəyyən edilmişdir. Boyanma nəticəsində proksimal kanalcıqların mikroxovları diffuz, distal kanalcıqlarda isə fokal zədələnmə görünmüdü. Əks-cisimlərin müsbət boyanması bu dəyişikliklərin endotoksinin təsirinin göstəricisi olduğunu sübut edir. Hüceyrələrdə zədələnmənin aşkarlanması və immunohistokimyəvi üsulla struktur dəyişikliklərinin təyin edilməsi bu nəticəyə gəlməyə əsas verir[6, 7, 8, 17].

PRAKTİK TÖVSIYYƏLƏR

1. Eksperimental endotoksemiya modelindən alınmış nəticələrə əsasən demək olar ki, böyrəklərin KTİN və XTİN xəstələrində də biopsiyaların götürülməsi vacibdir. Bu məqsədlə etioloji amili nəzərə alaraq biopsiyaların göndəriş vərəqəsində bu nəticələrin əlavə olunması tövsiyyə edilə bilər.
2. Yeni endotoksin biomarkerlərinin istifadə olunması kəskin böyrək zədələnməsinin yaranma səbəbinin və aşkar olunmaqla erkən diaqnozun təyininə kömək edə bilər.
3. KTİN və XTİN xəstələrinin diaqnostikasında laborator diaqnostikanın informativ olmadığı hallarda sidikdə E.Colinin kultivasiyasının miqdarının çox olduğu halda xəstəliyin patomorfoloji diaqnostikası zəruri sayıla bilər. Patomorfoloji nəticələrin klinikada nefroloqlar üçün müalicədə terapevtik effektin daha tez əldə edilməsinə zəmin ola bilər.
4. İşin yekun nəticələri Məhkəmə təbabəti kafedrasında toksemiya hallarında böyrək zədələnmələrinin səbəbini öyrənərkən, Patoloji anatomiya kafedrasında KTİN və XTİN xəstələrində böyrəklərdə dəyişikliklərin patomorfoloji xarakteristikasının tədrisində nəzəri və praktik dərslərdə mikroskopik preparatlardan alınmış təsvirlərdən istifadə oluna bilər.

DİSSERTASIYANIN MÖVZUSUNA DAİR DƏRC OLUNMUŞ ELMİ İSLƏRİN SİYAHISI

1. Nefrotik sindromlu xəstələrin böyrək biopsiyalarının elektron mikroskopiya göstəriciləri. İbişova A.V. Həsənov Ə.B. TURAZ I Beynəlxalq Məhkəmə Tibbbi Ekspertiza və // Patologiya Konqresi, Bakı, 13-16 oktyabr 2016, səh.45.
2. Морфологические свойства изменений в органеллах канальцевых клеток почек при эндотоксемии E.Coli. Гасанов А.Б., Ибишова А.В // Труды V Съезда Российского Общества Пато-лого-анатомов. г. Челябинск, 1-4 июня 2017. г, стр.75-76.
3. The Ultrastructural Changes Renal Tubules During E. Coli Endotoxemiya. Ibishova A.V, Hasanov A.B., Orujov M. T // 6th International Symposium-Cum-Training Course on Molecular Medicine and Drug Research (MMDR-6) Pakistan 6-9, 2017, p.67.
4. Endotoksemiyalı xəstələrin punksion böyrək biopsiyalarında kanalçıqların elektron mikroskopiya göstəriciləri. İbişova A.V., Həsənov Ə.B // Sağlamlıq №1. Bakı, 2017. səh 176-179.
5. Патоморфологические методы определения апоптоза в канальцевом эпителии почки. İbişova A.V., Həsənov Ə.B // Sağlamlıq №3. Bakı, 2017. səh 189-191.
6. Особенности ишемических, септических и токсических моделей при эксперименте острого почечного повреждения. Ибишова А.В., Гасанов А.Б., Алиева. Ш.Е. Исаев А.Н // Медицинские новости 2017.№10 стр.14-15.
7. Xroniki Qlomerulonefrit zamanı böyrək biopsiyalarında qlomerulyar basal membranlarda elektron mikroskopik dəyişikliklər. İbişova A.V, Orucov M.T., Musayev C.S., Əliyeva Ş.E // Təbabətin actual problemləri -2018. səh. 192.
8. The morphological changes in renal proximal tubules during E. Coli endotoxemia – electron microscopic study. Ibishova A.V., Hasanov A.B., Orujov M. T., Ismayilova Sh.Q. //Medicine Science International Medical Journal. Volume 7, Number 1, March, 2018. p. 1-246.

9. Endotoksemiya təsirindən böyrəklərdə baş verən patomorfoloji dəyişikliklər. Orucov M.T., İbişova A.V // Təbabətin actual problemləri -2018. səh. 222.
10. Determination of lipopolycaccharides with the anti-lipid A antibody immunohistochemical staining in kidneys of died from peritonitis. Ibishova A.V., Hasanov A.B., Orujov M.T // One health: Problems and solutions. Bakı, Azərbaycan 2019. p.70.
11. Kronik qlomerulonefritli hastalarda kronik böbrek hastalığının evresine bağlı patomorfoloji dəyişiklikler. İsmayılova Ş, Ağayev M., İbişova A. // 36 ci-Ulusul nefroloji konqresi, 29 cu Ulusal Nefroloji hemşirelik konqresi.Antalya.Türkiyə. 16-20 Noyabr, 2019. səh. 70.
12. Eksperimetal endotoksemiya modelində anty-e. Coli Lips anticisinin böyrək kanalcıqlarında təyini. İbişova A // Azərbaycan Onkologiya jurnalı, Bakı, 2019. səh 133.
13. Endotoksının böyrək kanalcıqlarının iltihabında rolü. İbişova A // Sağlamlıq jurnalı. № 3, 2019 səh 31.
14. Punksion böyrək biopsiyalarında yetərlilik kriteriyalarının morfoloji meyarları. Ibishova A.V., Fərzəliyeva S.Ə.Baxşəliyeva Nərgiz // XIV Ümumdünya böyrək gününə həsr olunmuş “Müasir nefrologiyasının aktual problemləri”. 28-29. Bakı, 2019. səh.40.
15. Sepsis və peritonit endotoksemiyalarında nefron aparatında patomorfoloji dəyişikliklər. Hasanov A.B., Ibishova A.V., Ələkbərov A. Ə, Fərzəliyeva S.Ə // XIV Ümumdünya böyrək gününə həsr olunmuş “Müasir nefrologiyasının aktual problemləri”. Bakı ,2019. səh 28-29.
16. Features of ultrastructural changes in kidney, depending on the stage of chronic kidney disease which was developed as a result of chronic glomerulonephritis. Aghayev, M, Ismayilova S, Ibishova A , Farzaliyeva S, Aliyeva F // ISN WCN 2020, ABU DHABI, UAE. Kidney international reports (2020) 5, s.34.
17. Features of ultrastructural changes in kidney tissue in the patients who have passed away as a result of sepsis. Agayev.M, Ismayilova. Ş., Ibishova.A // Nephrology Dialysis Transplantation. 57th ERA-EDTA Congress Abstracts. 06 -9 june 2020. p-419.

ŞƏRTİ İXTİSARLAR

AKTH	-adrenokortikotrop hormonu
BMQ	-bazal membran qalınlığı
CD14	-LPS liqandını təyin edən reseptor
E.Coli	-Escherichia coli
EDTA	-Ethylenediaminetetraacetic acid
XTİN	-Xroniki tubulo-interstitsial nefrit
İHK	-İmmunhistokimya
İL1	-İnterleykin 1
KBZ	-Kəskin böyrək zədələnməsi
KFZ	-Kəskin faza zülalı
KTİN	-Kəskin tubulo-interstitsial nefrit
LPS	-Lipopolisaxarid
MİF	-Makrofaqların miqrasiyasını ləngidən faktor
NPAR	-Nonparametric
PAS	-Periodic asid schiff
P	-Pirson
SC	-Sidik cövhəri
TGF-β	-Transforming growth faktor betta
TİN	-Tubulointerstitsial nefrit
TLR4	-Toll-like reseptor 4
U	- Mann-Whithney
α- SNF	- α -şış nekroz faktoru
TEM	- Transmission elektron mikroskopu
CRP	-C-reaktive protein

Dissertasiyanın müdafiəsi «13» Dekabr 2024-cü il tarixində saat «13:00»-da Azərbaycan Tibb Universitetinin nəzdində fəaliyyət göstərən BED 4.20 Dissertasiya şurasının iclasında keçiriləcək.

Ünvan: AZ 1022 Bakı şəh., Ə.Qasimzadə küç.,14.

Dissertasiya ilə Azərbaycan Tibb Universitetinin kitabxanasında tanış olmaq mümkündür.

Dissertasiya və avtoreferatın elektron versiyaları Azərbaycan Tibb Universitetinin rəsmi internet saytında (wwwamu.edu.az) yerləşdirilmişdir.

Avtoreferat «01» Noyabr 2024-cü il tarixində zəruri ünvanlara göndərilmişdir.

Çapa imzalanıb: 25.10.2024
Kağızın formатı: 60x84 1/16
Həcmi: 34177 işarə
Sifariş: 176
Tiraj: 100
"Təbib" nəşriyyatı